

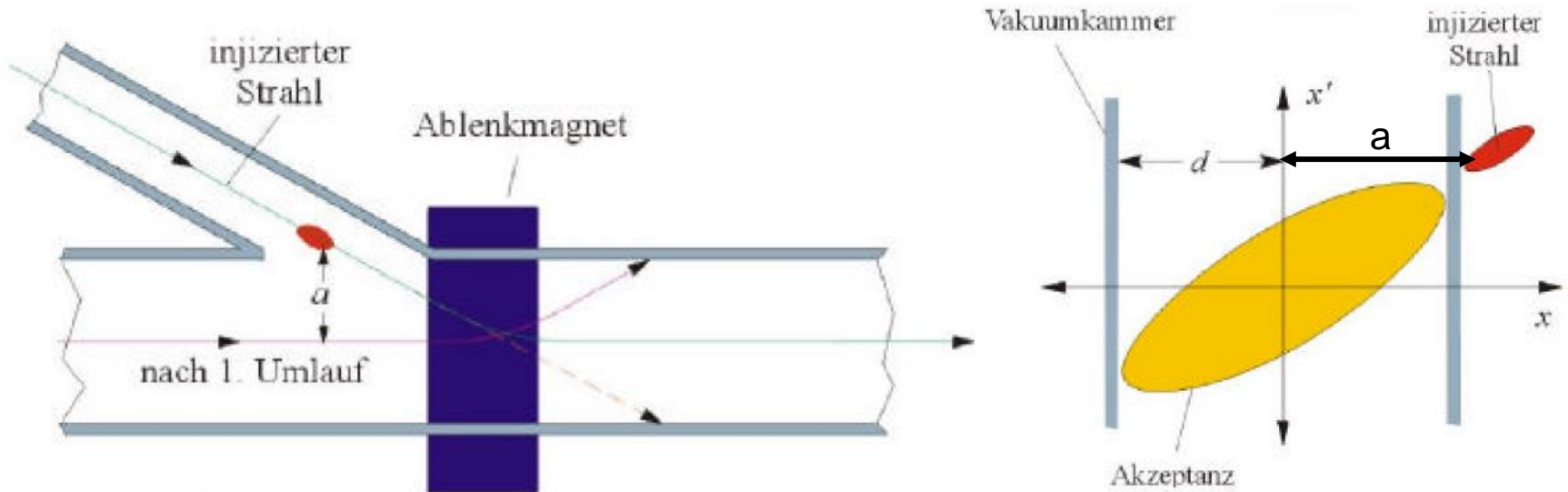
Kapitel 10

Injektion, Extraktion und Strahlkühlung

1. Injektion, Extraktion

Die zu beschleunigenden Teilchen müssen in einem ringförmigen Beschleuniger eingeschossen (injiziert) werden. Dort werden sie beschleunigt und wieder aus dem Ring ausgelenkt (extrahiert, ejiziert).

Der Prozess der Injektion und Ejektion ist nicht trivial, da zunächst jedes außerhalb der Ringstrahllinie befindliche Teilchen auf Grund des Liouvillschen Satzes außerhalb der Akzeptanz des Ring-beschleunigers liegt und ohne entsprechende Maßnahmen irgendwo auf die Vakuumkammer stößt.



$$A_{inj} \geq \frac{a^2}{\beta} \geq \frac{d^2}{\beta}$$



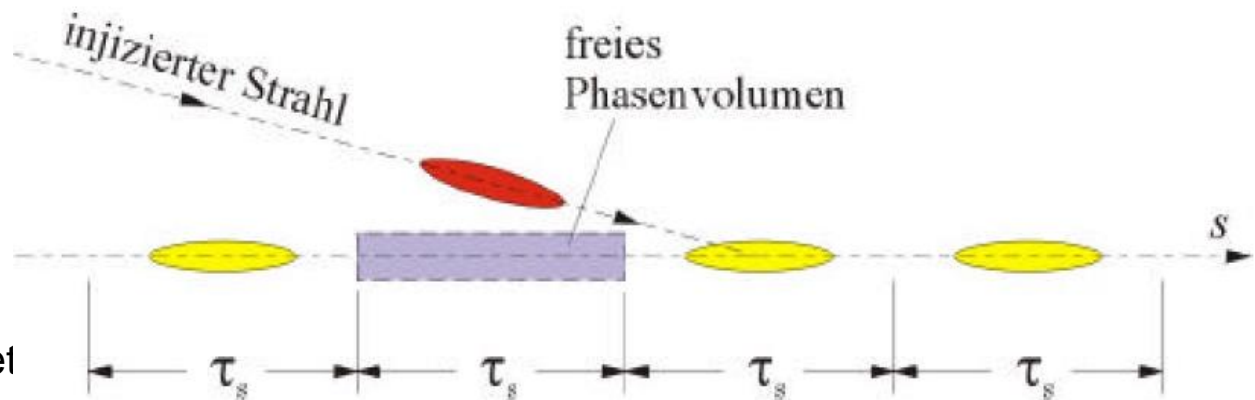
Einlenkender Magnet würde zirkulierenden Strahl auf die Wand lenken → Daher schnell gepulster Kickermagnet.

Grundregel der Injektion

In ein schon durch Teilchen besetztes Phasenraumvolumen kann kein zweites Mal injiziert werden, ohne die schon darin enthaltenen Teilchen zu verlieren.

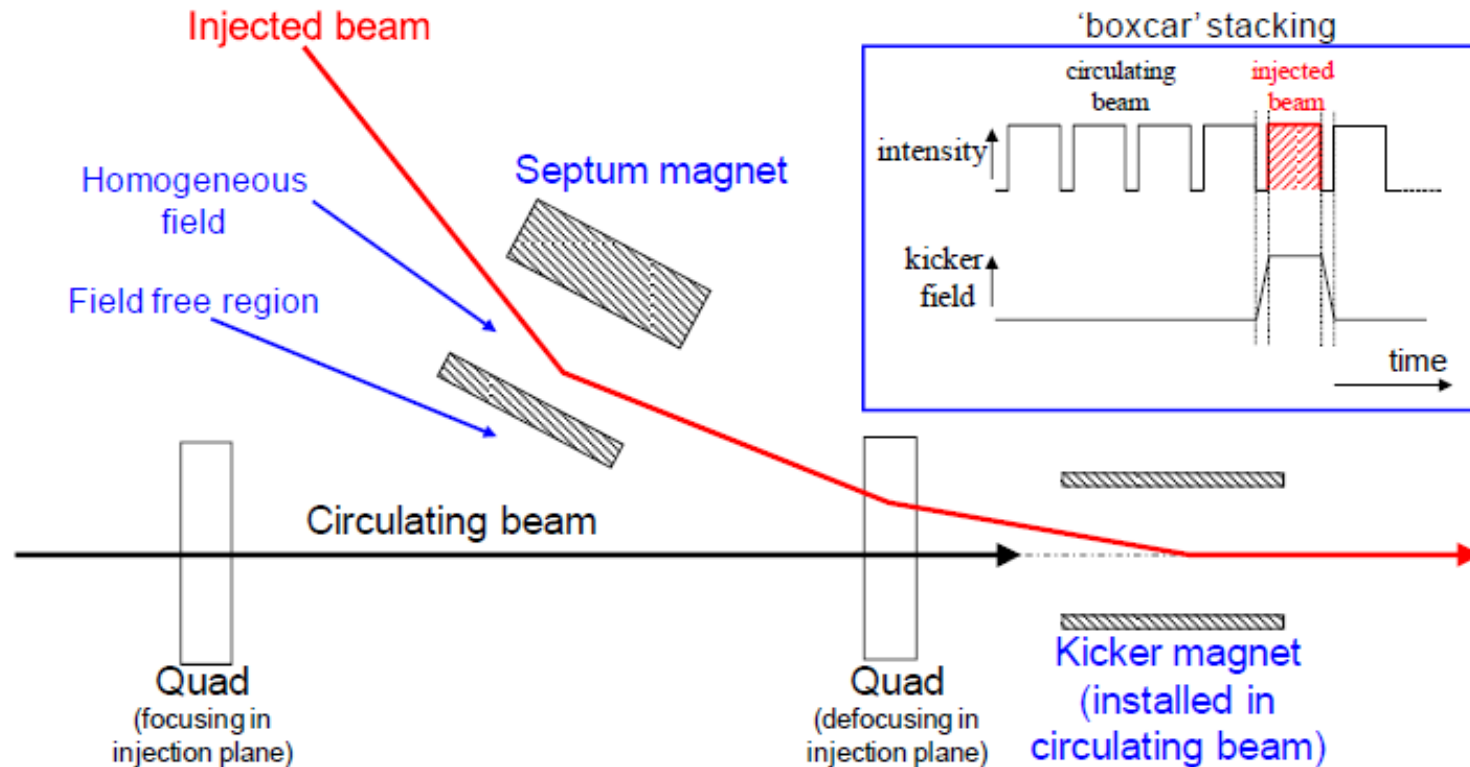
Man kann nacheinander kurze Strahlpulse hintereinander (longitudinal) in bestimmte Positionen des Orbits einschießen (longitudinales stacking).

→ schnell gepulste Magnet in der Zeit τ_s



Andere Methode: Strahl auf den Orbit lenken und dann die Amplitude der Kicker schrittweise reduzieren und weitere Strahlen neben die schon vorhandenen zu injizieren (transversales stacking).

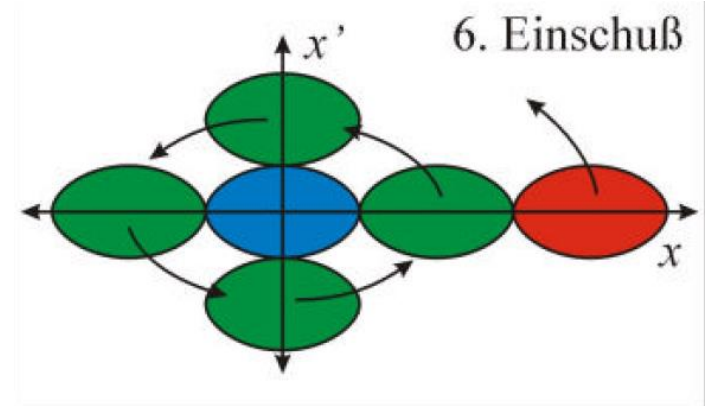
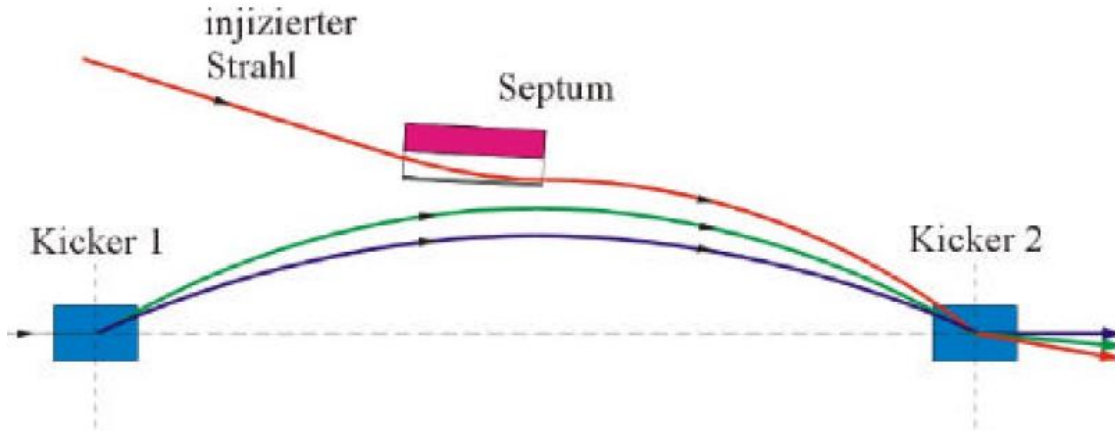
Für die sogenannte „single turn injection“ geht der gesamte Strahlpuls durch das Injektionssystem. Das sogenannte „Septum“ lenkt den zu injizierenden Strahl in Richtung auf den Orbit, wo er von einem Kickermagneten im Winkel noch angepasst wird. Ein fokussierender Quadrupol minimiert die erforderliche Feldstärke des Kickermagneten. Nach einem Umlauf der Teilchen muss der Kicker ausgeschaltet sein.



Der umlaufende Strahl läuft durch die feldfreie Region des Septums. Der Kickermagnet ist im Beschleuniger installiert und bestimmt mit seiner Apertur die Akzeptanz des Beschleunigers mit.

Eine „multiturn injection“ erfordert neben dem Septum und dem Kicker auch noch die Erzeugung eines „orbit bumps“.

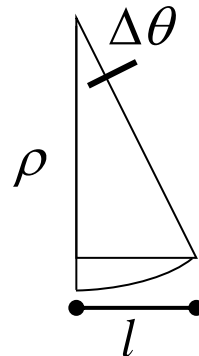
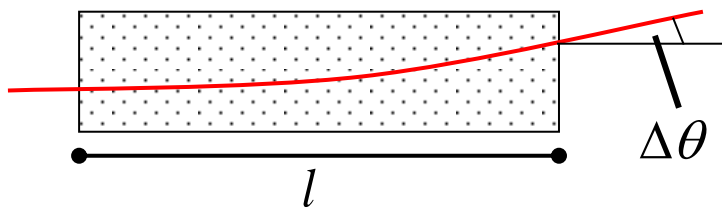
Injektion, Extraktion



Kicker 1 → Orbitbeule → Septum → Einlenken auf Orbit
 Kicker 2 → Korrektur der Orbitbeule (wird nach und nach reduziert)

Dabei wird eine lokale „Orbitbeule“ für eine kurze Zeit erzeugt. Ein als Septum bezeichneter Ablenk-magnet biegt den injizierten Strahl ungefähr parallel zum Orbit, so dass dieser in die Akzeptanzellipse des Beschleunigers fällt. Diese Orbitbeulen werden wir später genauer betrachten.

Ablenkwinkel Kickermagnete:



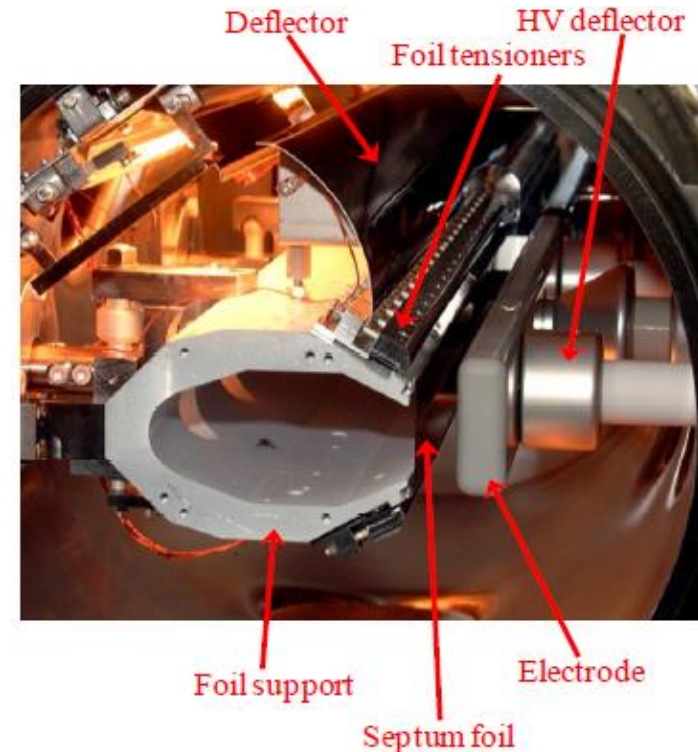
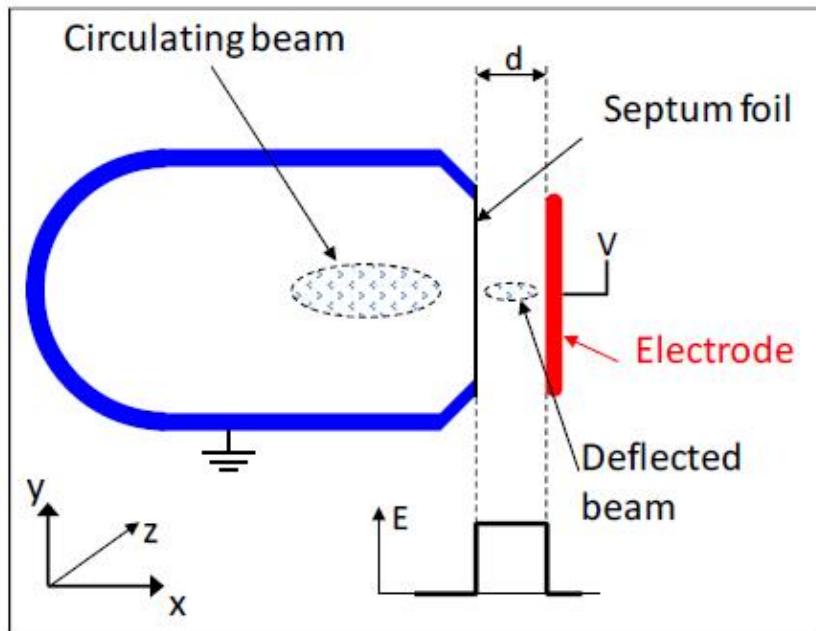
$$B \cdot \rho = \frac{p}{q}$$

$$\sin \Delta\theta = \frac{l}{\rho} = \frac{B \cdot l}{p} q \quad (10.1)$$

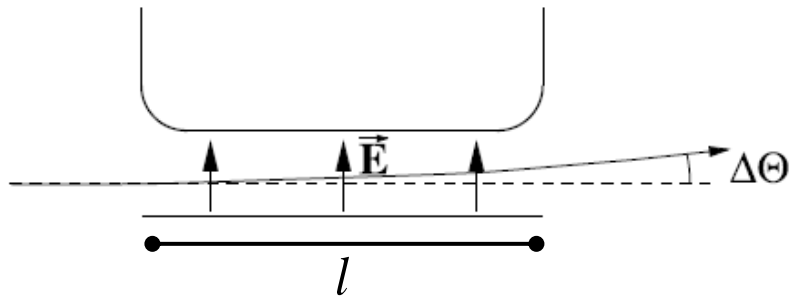
Injektion, Extraktion

Zur Injektion und Extraktion von Strahlen in Kreisbeschleunigern werden elektrostatische und magnetische Ablenkeinheiten verwendet, die man aufgrund der notwendig schmalen Trennwand zwischen dem Feldraum und dem feldfreien Raum „Septum“ nennt.

Mit elektrostatischen Septa erhält man besonders kleine Septumschatten (wo Teilchen auf das Septum auftreffen), die Trennwand besteht meistens aus dünnem Wolfram-Blech ($\sim 0,1$ mm) oder aus dünnen Wolfram-Drähten. Feldstärken bis zu 10 MV/m und B-Felder bis zu 1T sind typische obere Grenzen von elektrischen bzw. magnetischen Septa.

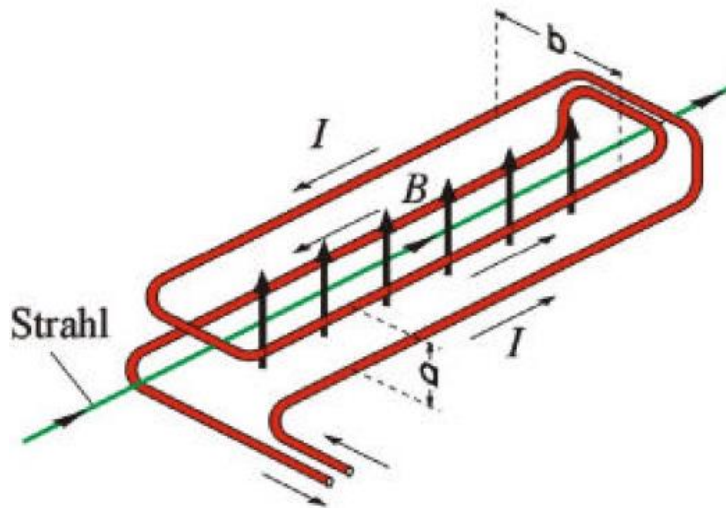


Ablenkwinkel E-Septum:



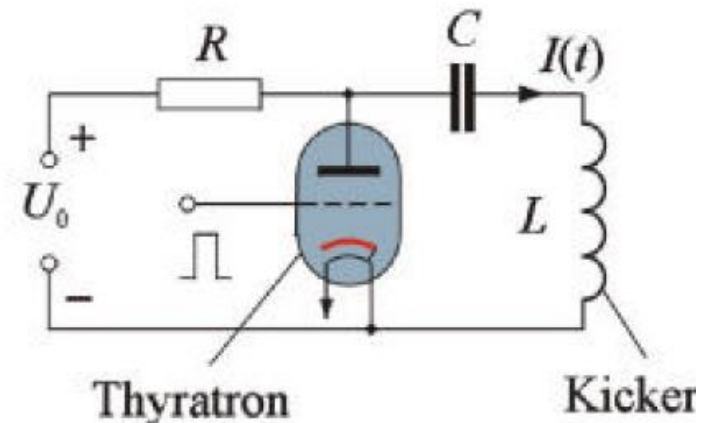
$$\tan \Delta\theta = \frac{v_y}{v_0} = \frac{q \cdot E \cdot l}{mv_0} \frac{1}{v_0} = \frac{E \cdot l}{(B\rho)v_0} \quad (10.2)$$

Wenn extrem kurze Schaltzeiten für die Strahlablenkung erforderlich sind, verwendet man sogenannte Kickermagnete. Ein Kickermagnet ist eine Luftspule. Um eine nennenswerte Ablenkung zu erhalten sind die Kickermagnete relativ lang, ca. 1m. Ein typischer Aufbau ist in der nachfolgenden Graphik gezeigt.



Die vier parallel zum Strahl verlaufenden Leiter haben zu diesem den Abstand

$$r = \frac{1}{2} \sqrt{a^2 + b^2}$$



Thyratron

Kicker

Die Selbstinduktion solcher Systeme ist dabei so klein, dass Schaltzeiten im Bereich von 50-150 ns möglich werden. Die hohen Strompulse werden dadurch erzeugt, dass ein Kondensator über ein Thyatron entladen wird. Typische Felder von 25-50 mT werden mit Schaltpulsen von 40-80 kV und Strömen von 2-5 kA erzielt.

Nach dem Zünden des Thyatrons hat man einen LC-Schwingkreis vorliegen. Nach einer halben Schwingung bricht der Vorgang ab, da das Thyatron keine negativen Ströme übertragen kann. Man hat daher einen Halbwellenpuls mit der Dauer

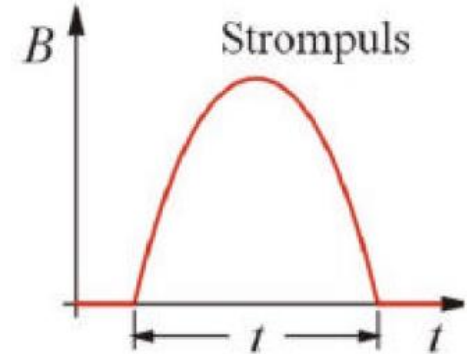
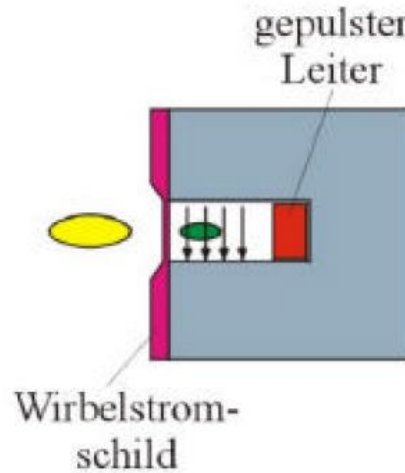
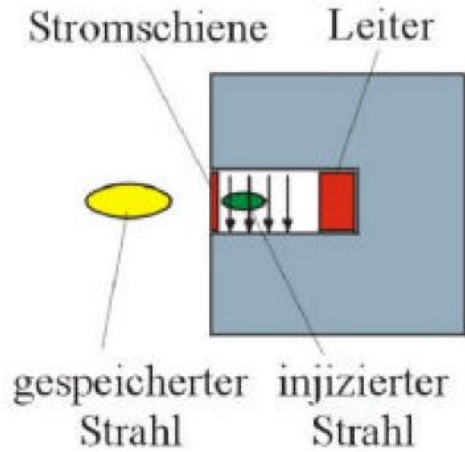
$$\tau = \frac{T}{2} = \frac{\pi}{\omega} = \pi\sqrt{LC} \quad \Leftrightarrow \quad C = \left(\frac{\tau}{\pi}\right)^2 \frac{1}{L}$$

Die Aufgabe des Septums ist es den injizierten Strahl unmittelbar vor dem Eintritt in den Ringbeschleuniger so abzulenken, dass er möglichst nahe an den schon umlaufenden Strahl kommt, wobei er zu diesem nur sehr kleinen Winkel haben darf. Das Septum ist also ein Ablenker, bei dem das Feld nur innerhalb seines Spaltes wirksam ist und damit praktisch nur den injizierten Strahl ablenkt. Den dicht am Septumblatt vorbeifliegenden Strahl beeinflusst das Septum nicht.

Ein Magnet mit offenem Spalt \rightarrow Streufeld ragt zu weit aus dem Spalt

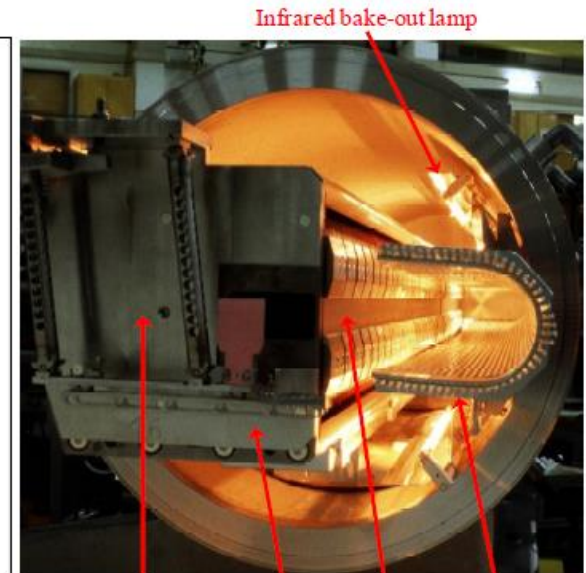
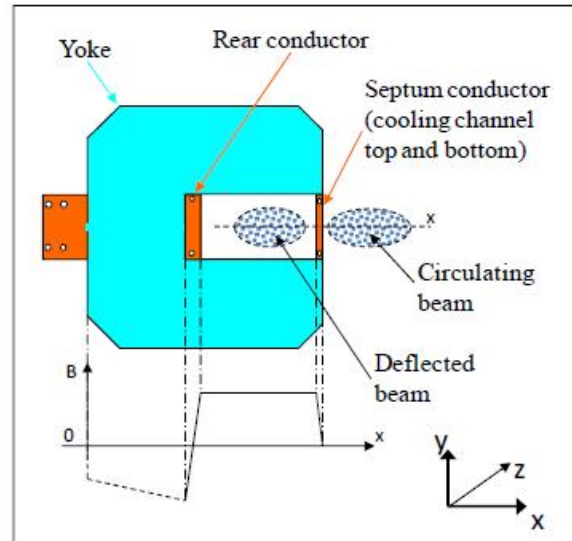
Das Feld muss abgeschirmt werden z.B. mit einer Stromschiene oder durch ein Wirbelstromschild, welche die offene Seite abschließen kann (siehe Graphik)

Injektion, Extraktion



Der Septumtyp mit Wirbelstromschild kann nur im Pulsbetrieb laufen. Dabei nutzt man den Skin-Effekt und die damit verbundene endliche Eindringtiefe des Feldes in einem gut leitenden Blech.

Diese beträgt:
$$d_s = \sqrt{\frac{2}{\omega \sigma \mu_r \mu_0}}$$



Infrared bake-out lamp
Beam profile "monitor"
Septum
Beam profile "monitor" support
Beam impedance screen

d_s beträgt für Pulsdauern von $10 \mu\text{s}$ (Halbwelle) mit $\omega = \frac{\pi}{\tau} = 3,14 \cdot 10^5 1/s$, $\sigma_{Cu} = 5,9 \cdot 10^7 1/\Omega\text{m}$ und $m_r = 1 \rightarrow d_s = 0,000233 \text{ m} = 0,233 \text{ mm}$

Grundvoraussetzung für einen optimalen Transfer ist die Anpassung der Phasenraumverteilung des Strahls:

→ transversale Phasenellipsen müssen am Übergabepunkt den Eigenellipsen des Synchrotrons entsprechen

→ TWISS Parameter $(\alpha_x, \beta_x, \gamma_x)$, desgleichen für die y-Richtung

Der Strahl muss eine entsprechende Orts- und Winkeldispersion entsprechend der periodischen Dispersionsfunktionen D und D' besitzen. → Anpassung durch das Strahlführungssystem

Kurze Wiederholung:

Die Lösungen der Hillschen DGL haben wir in Kapitel 4 folgende Lösungen erhalten:

$$x(s) = \sqrt{\varepsilon\beta(s)} \cdot \cos(\Psi(s) + \Psi_0)$$

$$x'(s) = -\sqrt{\frac{\varepsilon}{\beta(s)}} \cdot [\alpha(s)\cos(\Psi + \Psi_0) + \sin(\Psi + \Psi_0)]$$

2. Floquet Transformation

Durch eine einfache lineare Transformation (Floquet Transformation) kann man die durch (α, β, γ) definierte Ellipse in der Form eines Kreises darstellen. Gleichzeitig wird der Laufparameter s durch den Betatronphasenvorschub $\psi(s)$ ersetzt.

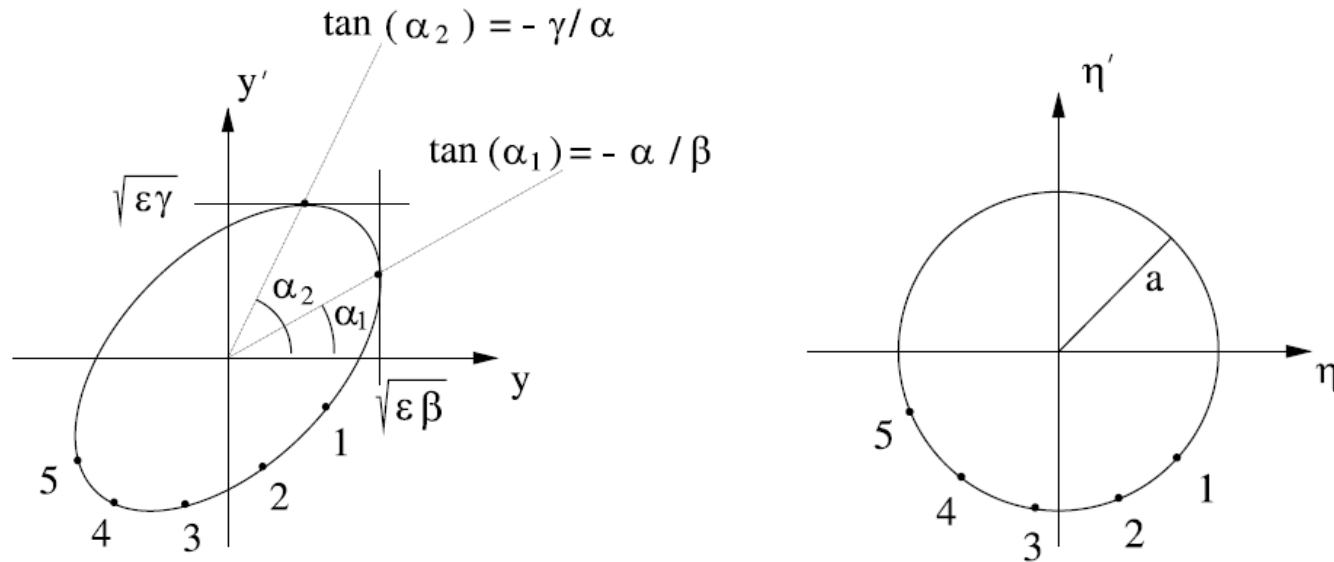
Das resultierende Kreisdiagramm ist sehr hilfreich zur Diskussion von Teilchenbewegungen in der Phasenraumbene. Die Transformation wird auch zur quantitativen Analyse von Störfeldefekten und Resonanzen benötigt.

$$\frac{x(s)}{\sqrt{\beta}} = \sqrt{\varepsilon} \cdot \cos(\Psi + \Psi_0) = \eta(s) \tag{10.3}$$
$$\sqrt{\beta} \cdot x'(s) + \alpha \frac{x(s)}{\sqrt{\beta}} = -\sqrt{\varepsilon} \sin(\Psi + \Psi_0) = \frac{d\eta}{d\Psi}$$

Durch die Transformation werden die sich kontinuierlich ändernden Phasenellipsen einheitlich auf einen Kreis mit dem Radius $a = e^{1/2}$ transformiert. Damit ist es möglich, die Bewegung eines Teilchens als Funktion der Betatronphase $\psi(s)$ im Kreisdiagramm unmittelbar zu verfolgen!

$$\frac{x^2}{\beta(s)} + \left(\frac{\alpha(s)}{\sqrt{\beta(s)}} x + \sqrt{\beta(s)} \cdot x' \right)^2 = \eta^2 + \left(\frac{d\eta}{d\Psi} \right)^2 = \varepsilon \tag{10.4}$$

Floquet Transformation



Die Transformation kann auch in Martizenform geschrieben werden:

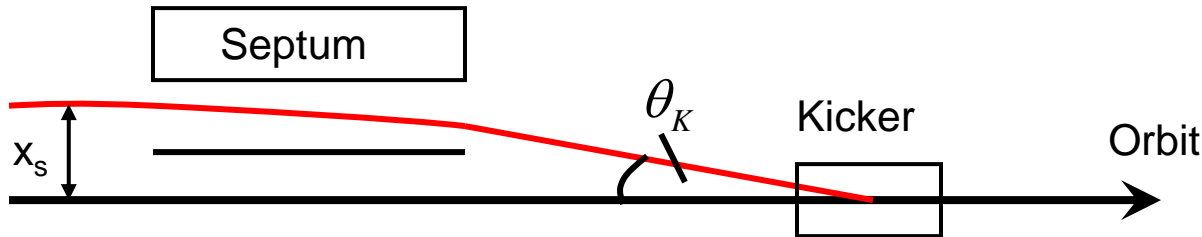
$$\begin{pmatrix} \eta \\ \frac{d\eta}{d\Psi} \end{pmatrix} = \begin{pmatrix} \beta^{-1/2} & 0 \\ \alpha\beta^{-1/2} & \beta^{1/2} \end{pmatrix} \begin{pmatrix} x \\ x' \end{pmatrix} \quad \begin{pmatrix} x \\ x' \end{pmatrix} = \begin{pmatrix} \beta^{1/2} & 0 \\ -\alpha\beta^{-1/2} & \beta^{-1/2} \end{pmatrix} \begin{pmatrix} \eta \\ \frac{d\eta}{d\Psi} \end{pmatrix} \quad (10.5)$$

Die Darstellung der Phasenellipse als Kreis in der $(\eta, d\eta/d\Psi)$ -Ebene eliminiert die lokale Abhängigkeit von den optischen Funktionen $\alpha(s)$, $\beta(s)$ und $\gamma(s)$.

Es ist sinnvoll die Septumseinmündung sowie den Kicker an Stellen zu positionieren, an denen die β -Funktion groß ist z.B. in der Nähe fokussierender Quadrupole in einer FODO-Struktur.

Floquet Transformation

Zusammenhang zwischen Ortsabweichung am Septum x_s und dem Winkel am Kicker θ_K (siehe Geometrie) ergibt sich aus dem nachfolgenden Kreisdiagramm:



An der Stelle S vor dem Septum gilt:

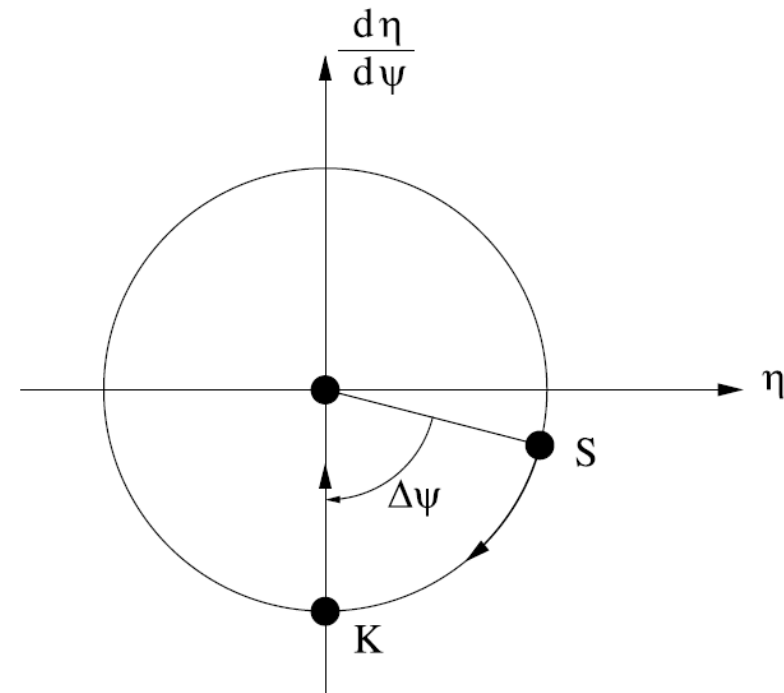
$$\eta_S = \frac{x_s}{\sqrt{\beta_s}} = \sqrt{\varepsilon_x} \cdot \sin(\Delta\Psi)$$

An der Stelle K vom Kicker gilt:

$$\left. \frac{d\eta}{d\Psi} \right|_K = \sqrt{\varepsilon_x} = \sqrt{\beta_K} \cdot x'_K + \frac{\alpha_K}{\sqrt{\beta_K}} \cdot 0$$

$$x'_K = \theta_K = \frac{x_s}{\sqrt{\beta_K \beta_s} \sin(\Delta\Psi)}$$

(10.6)



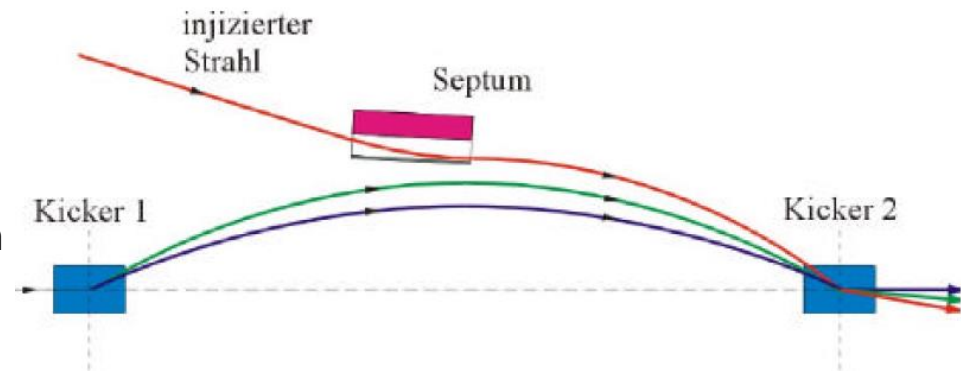
Floquet Transformation

Dabei ist $\Delta\psi$ der transversale Phasenvorschub zwischen der Position des Septums und der Position des Kickers. Optimal ist ein Betatronphasenvorschub von $\Delta U=90^\circ$ um θ_K so klein wie möglich zu halten. Ebenso findet man den Zusammenhang zwischen Orts- und Winkelabweichung θ_s des zu injizierenden Strahls gegenüber der Sollachse des Beschleunigers

$$\left. \frac{d\eta}{d\Psi} \right|_s = \tan \Delta\Psi \quad \Rightarrow \quad \eta_s = \frac{x_s}{\sqrt{\beta_s}} = (\sqrt{\beta_s} \cdot x'_s + \frac{\alpha_s}{\sqrt{\beta_s}} x_s) \cdot \tan \Delta\Psi$$

$$x'_s = \theta_s = \frac{x_s(1 - \alpha_s \tan \Delta\Psi)}{\beta_s \cdot \tan \Delta\Psi} = \frac{x_s}{\beta_s} (\cot \Delta\Psi - \alpha_s) \quad (10.7)$$

Wie schon gezeigt, muss bei der „multi-turn injection“ mit Hilfe von zwei Kickermagneten K_1 und K_2 die Gleichgewichtsbahn so gestört werden, dass eine „Orbitbeule“ entsteht (Orbitpumpe). Der Phasenvorschub zwischen den Kickern sollte möglichst genau 180° betragen.



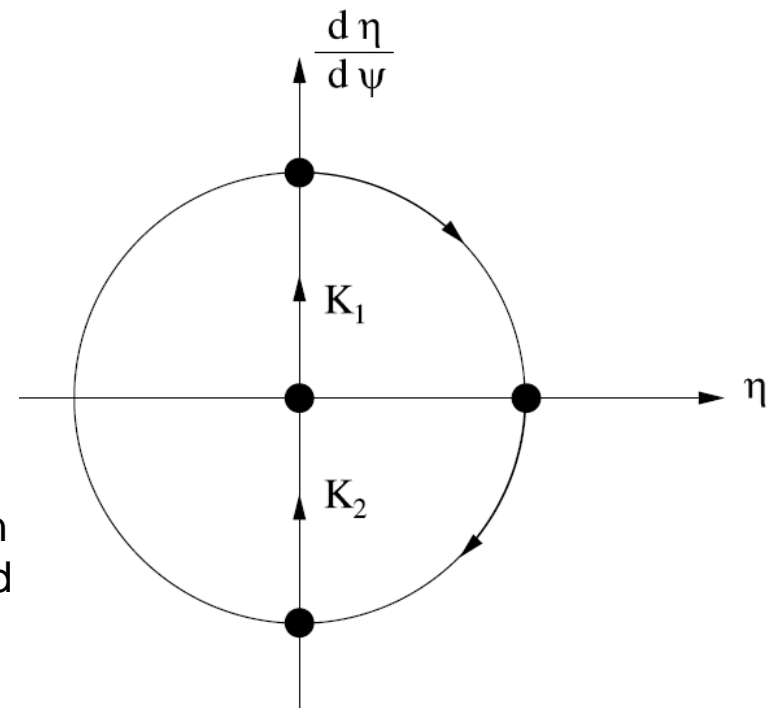
3. Lokale Orbibeule

Nach $\Delta\Psi = 90^\circ$ ist $\eta = \frac{x_{\max}}{\sqrt{\beta_{x\max}}} = \sqrt{\varepsilon_x}$

Durch die Orbitbeule wird die Bahn in die Nähe des Septums verlagert.

Dadurch sind (x_s, θ_s) gegenüber der Gleichgewichtsbahn relativ klein \rightarrow transversales stacking durch Verkleinerung der Orbitbeule.

\rightarrow Strahl kann nicht in besetztes Phasenraumvolumen eingeschossen werden (Satz von Liouville). Sonst wird der dort vorhandene Teilchenstrahl in ein anderes Phasenraumgebiet ausgelenkt.



Es ist häufig erforderlich, die Strahlage im Beschleuniger lokal zu verschieben, ohne den Rest der Maschine zu beeinflussen. Das geschieht mit Hilfe lokaler Orbitbeulen. Die einfachste Beule haben wir schon kennengelernt:

Hier benötigt man zwei Kicker, welche einen Phasenabstand von 180° besitzen.

Lokale Orbibeule

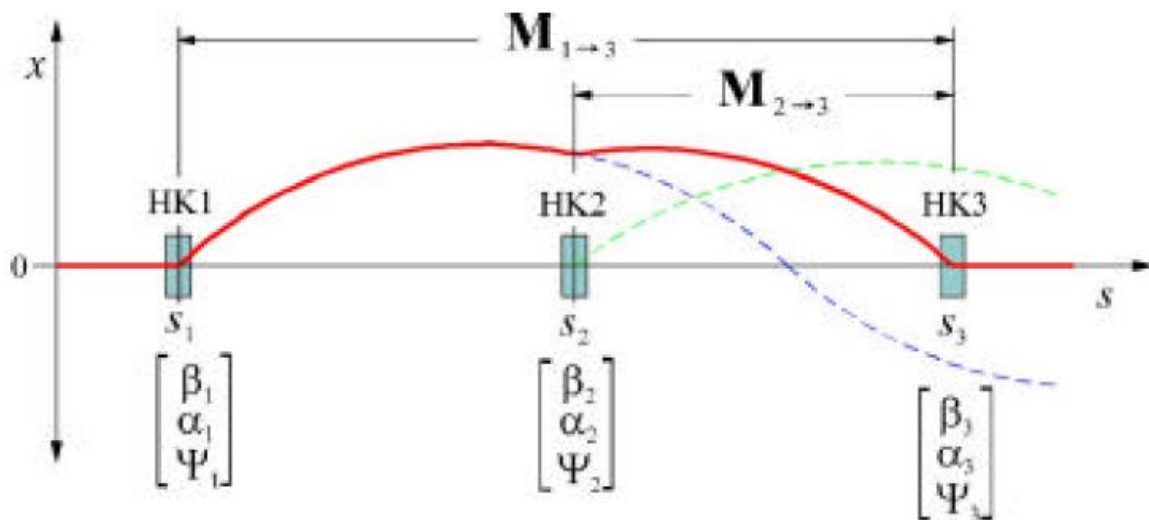
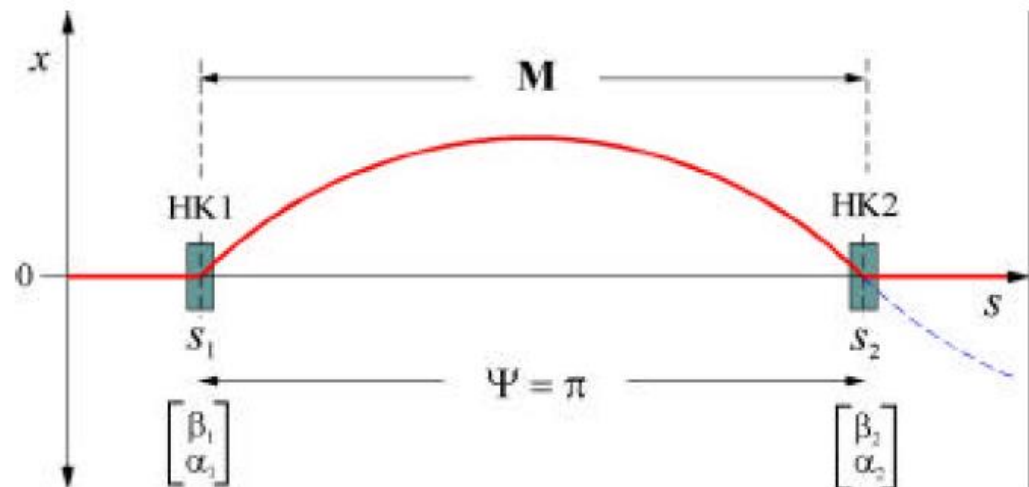
Die erste Steuerspule HK1 bei s_1 lenkt den Strahl um den Winkel θ_1 ab. Er führt eine halbe Betatronsoschwingung aus und kreuzt den Orbit wieder bei s_2 unter dem Winkel θ_2 . Hier sitzt die zweite Steuerspule, die den Strahl auf den Orbit zurucklenkt.

Es gilt:

$$\sqrt{\varepsilon_x} = \sqrt{\beta_1} \cdot \theta_1 = \sqrt{\beta_2} \cdot \theta_2 \Rightarrow \theta_2 = -\sqrt{\frac{\beta_1}{\beta_2}} \cdot \theta_1$$

Da es in der Regel nicht moeglich ist, zwei Steuerspulen exakt im Phasenabstand von 180° zu platzieren, wird diese Beule seltener benutzt.

Mit 3 Steuerspulen HK1, HK2 und HK3 lassen sich fast immer geschlossene Strahlbeulen erzeugen.



4. Extraktion

Die Steuerspule HK1 bei s_1 lenkt den Strahl wieder um den Winkel θ_1 ab. Dieser Strahlablage wird durch die Steuerspule HK2 bei s_2 eine weitere Ablenkung um θ_2 überlagert. Der Kick an der Stelle s_3 kann dann einfach aus den Phasenvorschüben ermittelt werden.

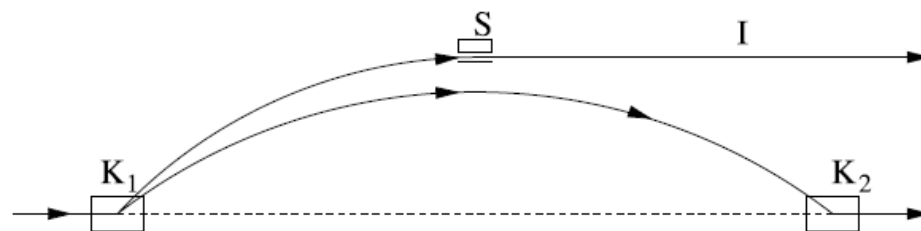
Extraktion:

Bei der schnellen „single turn“ Extraktion läuft der gleich Mechanismus, wie bei der single turn Injektion nur in umgekehrter Richtung ab. Ein schneller Kicker (50-150 ns) lenkt den Strahl zum Septum ab. Die endgültige Auslenkung erfolgt durch den Septumkanal.

Die für die schnelle Injektion gültigen Gleichungen gelten auch entsprechend bei der schnellen Extraktion.

Auch für die schnelle Kickerextraktion gilt als optimale Parameterwahl

β_s und β_K möglichst groß sowie $\sin \Delta\Psi \approx 1$

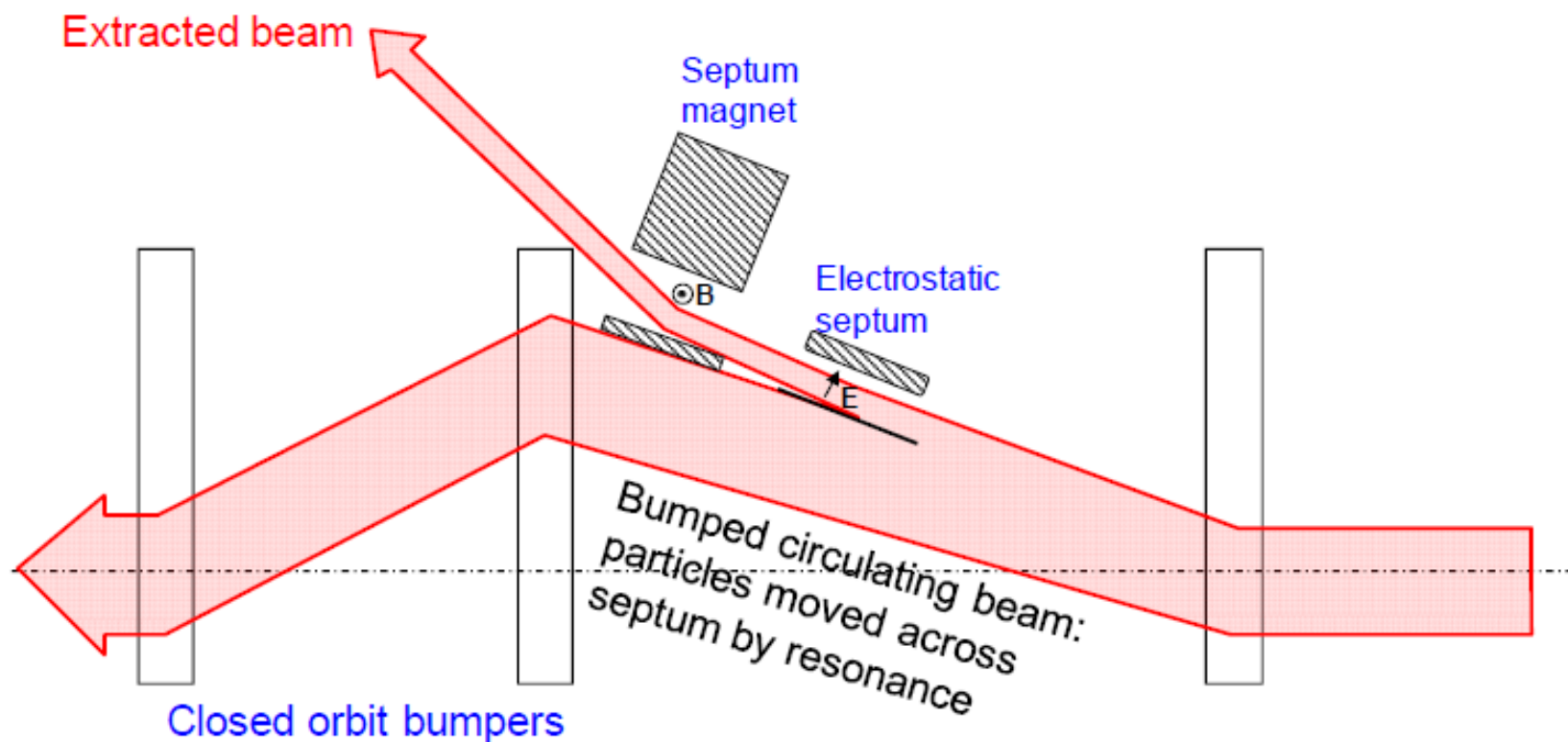


Bei der langsamen Resonanzextraktion wird der Arbeitspunkt in die Nähe einer Resonanz dritter Ordnung (drittelzahlige Resonanz) gelegt. Häufig wird die Gleichgewichtsbahn mit Hilfe einer Beule in die Nähe des Extraktionsseptums gebracht. Die Änderung des Arbeitspunktes geschieht durch die Verstimmung von Quadrupolen, so dass $3Q_x$ in der Nähe einer ganzen Zahl liegt.

Extraktion

Die Teilchen mit großer Betatronamplitude werden durch eine programmierte Erregung von Sextupolmagneten in die Resonanz getrieben.

→ Instabile Teilchen werden durch den Septumskanal abgeschält, der stabile Teil bleibt weiter im Ring



Dies Verfahren wird solange fortgesetzt, bis die Teilchen komplett extrahiert sind → möglichst gleichmäßiger Teilchenfluss (max. 1 Sekunde)

Bei der ultralangsamem Resonanzextraktion wird der Strahl durch stochastisches Aufheizen in longitudinaler Richtung, d. h. durch die stochastische Aufweitung der Impulsverteilung, in die Resonanz getrieben.

→ kontrolliert langsames Diffundieren der Strahlteilchen aus der Maschine

Bsp: Low Energy Antiproton Ring LEAR am CERN mit Extraktionszeiten von einer Stunde bei sehr konstantem Strahlstrom